

# เครื่องจำลองการควบคุมอัตติจูดสำหรับ ดาวเทียมขนาดเล็กแบบแกนเดียว

## A Single-Axis Small Satellite Attitude Control Simulator

# ພັນສາລ ມີຄຸນສມບັດ ນັກສຶກຂາປຣິລູນພາໄທ

กิตติชัย ว่องนิยมเกษตร  
นักศึกษาปริญญาตรี (2536-2539)  
บริษัท โลโซ-ไทย จำกัด

ดาวสรวง อรุณนภาพร  
นักศึกษาปริญญาตรี (2536-2539)  
ปริญญา ไทยและสอนเลี้ยงการไฟฟ้า จำกัด

ສුවාණ් කුලතනප්‍රීඛ  
e-mail: suwat@kmitb.ac.th  
ආජාරිය

ภาควิชาวิศวกรรมเครื่องกล  
คณะวิศวกรรมศาสตร์  
สถาบันเทคโนโลยีพระจอมเกล้าฯ  
พระนครเหนือ<sup>1</sup>  
บางซื่อ กรุงเทพฯ 10800

## 1. ບກໍາ

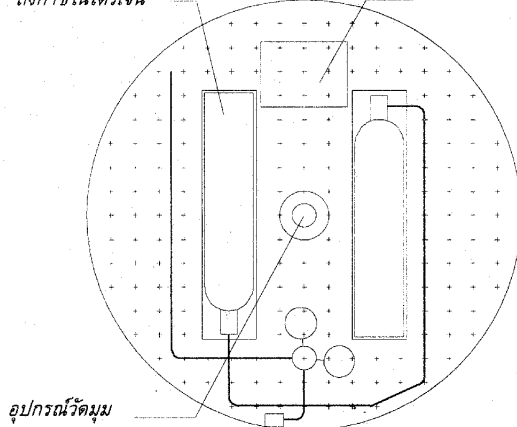
การสื่อสารดาวเทียมในปัจจุบันกลยุทธ์เป็นสิ่งที่มีบทบาทสำคัญของ การเปลี่ยนแปลงสังคมในปัจจุบัน การเตรียมบุคลากรของไทยให้มีความรู้และคุณเคยกับเทคโนโลยีด้านอาชีวศึกษาโดยเฉพาะเทคโนโลยีดาวเทียมมีมากเป็นสิ่งที่จำเป็นอย่างยิ่ง ภาควิชาวิศวกรรมเครื่องกล คณะวิศวกรรมศาสตร์สถาบันเทคโนโลยีพระจอมเกล้าฯ พระนครเหนือ "ได้เตรียมพร้อมกับการเปลี่ยนแปลงในครั้งนี้โดยจะเปิดหลักสูตรวิศวกรรมการบินและอาชีวศึกษา ในปีการศึกษา 2541 และมีการส่งเสริมการวิจัยในด้านวิศวกรรมการบินและอาชีวศึกษาอย่างมากขึ้น"

งานวิจัยนี้เป็นการสร้างเครื่องจำลองดาวเทียมเล็กเพื่อใช้ศึกษาพฤติกรรมทางพลวัตท์และการควบคุมแอ็ตติจูดเป็นหลัก ในระยะแรกของการศึกษานี้ จะเน้นเฉพาะเครื่องจำลองดาวเทียมแบบแกนเดียวเท่านั้น เครื่องจำลองดาวเทียมเป็นสิ่งจำเป็นต่อการศึกษาและวิจัยด้านอวกาศ يان<sup>1,2</sup> การศึกษาโดย computer simulation จะเหมาะสมกับการศึกษาในระดับดันเท่านั้น และอาจจะเกิดความผิดพลาดได้เนื่องจากความไม่เหมาะสมของ mathematical model และ/หรือจากปัญหาเสถียรภาพของกระบวนการเชิงตัวเลข<sup>3</sup> ดังนั้นการศึกษาและทดสอบบนสุดท้ายกับระบบจริงเป็นสิ่งที่ควรทำ อย่างไรก็ตามในระบบบางชนิดการทดสอบบนกับระบบจริงเป็นสิ่งที่เป็นไปไม่ได้หรือต้องเสียเวลาอย่างสูง ดังนั้นการทดสอบบน

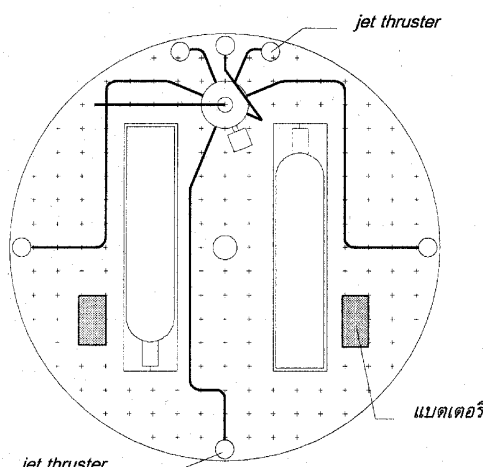
ระบบจำลองที่เป็น hardware (หรือที่เรียกว่าเครื่องจำลองในบทความนี้) จะให้ผลลัพธ์ที่ใกล้เคียงกับระบบจริงมากที่สุด

เครื่องจำลองดาวเทียมที่สร้างในงานวิจัยนี้เป็นแผ่นโครงสร้างอ่อนมีเนื้องอกมาร์คเม 90 ซม. (ดูรูปที่ 1) โดยแผ่นโครงสร้างนี้จะถอยอยู่บนแบบรากน้ำวน ชนิดที่มีแรงเสียดทานน้อยสามารถหมุนรอบแกนแนวตั้งได้อย่างอิสระ และแผ่นโครงสร้างจะได้รับการปรับให้จุดศูนย์กลางมวลอยู่ที่จุดศูนย์กลางแบบเพื่อจำลองสภาพไว้น้ำหนัก บนแผ่นโครงสร้างจะติดตั้งด้วยอุปกรณ์ที่ใช้เพื่อการประมวลผลและควบคุม เช่น ถังบรรจุก๊าซในโทรศัพท์, gas jet thrusters, อุปกรณ์วัดความเร็ว และแบตเตอรี่ เป็นต้น โดยระบบคอมพิวเตอร์ที่ใช้ในการควบคุมจะต่อสายผ่านสายตัวนำแบบหัวหักเบาจากภายนอก รูปที่ 2 แสดงภาพถ่ายของเครื่องจำลองที่สร้างขึ้น ในงานวิจัยนี้จะเป็นการสร้างและเน้นการหาค่า parameters ของดาวเทียมจำลอง คือค่าทอร์คที่เกิดจากแรงดันของก๊าซในโทรศัพท์ที่ฉีดผ่าน jet thruster และค่า moment of inertia รอบแกนหมุนของระบบ และเน้นการควบคุม attitude แบบ bang-bang ของดาวเทียมแบบแกนเดียว ในอนาคตโครงการนี้จะได้รับการพัฒนาต่อไปเป็นเครื่องจำลองที่สามารถเคลื่อนได้แบบสามแกน เพื่อใช้ในการศึกษาและวิจัยต่อไป

ก๊าซในโทรศัพท์ กล่องระบบควบคุม อุปกรณ์วัดความเร็ว

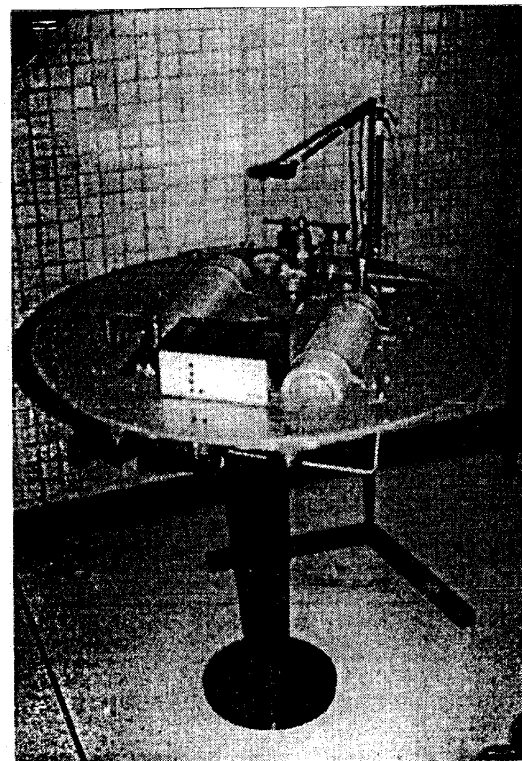


ก. ส่วนประกอบของเครื่องจำลองด้านบน



ข. ส่วนประกอบของเครื่องจำลองด้านล่าง

รูปที่ 1 โครงสร้างของเครื่องจำลอง



รูปที่ 2 ภาพถ่ายของเครื่องจำลอง

## 2. การหาค่าพารามิเตอร์ของระบบ

ในตอนนี้จะกล่าวถึงการหาพารามิเตอร์ของระบบที่จะนำมาใช้เพื่อการออกแบบระบบควบคุมต่อไป โดยแบบจำลองทางคณิตศาสตร์ของระบบสามารถเขียนได้เป็น<sup>4</sup>

$$I\ddot{\theta} = u, \quad u = \{T, -T, 0\} \quad (1)$$

โดยที่ I คือค่าโมเมนต์ความเฉื่อย (Moment of Inertia) รอบแกนหมุน,  $\theta$  คือมุมที่เคลื่อนที่, u คือสัญญาณอินพุตที่ให้กับระบบ ซึ่งมีค่าเท่ากับ T, -T หรือ 0 ซึ่งจะกำหนดโดยตัวควบคุม และ T คือค่าทอร์คที่กระทำการรอบจุดหมุนของระบบที่เกิดจากแรงดันของก๊าซที่ฉีดผ่านหัวฉีด ในงานวิจัยนี้ อัตราส่วน T/I เป็นค่าพารามิเตอร์ที่จะใช้ในการออกแบบระบบควบคุม ซึ่งเนื่องจากการหาค่าอัตราส่วน T/I จะทำกัน 2 วิธีเพื่อเป็นการเบริบยกเทียนกัน วิธีแรกเป็นหาค่า I และ T จากการทดลองที่แยกกันอิสระ ส่วนวิธีที่สองเป็นการหาค่าอัตราส่วน T/I โดยตรง

### 2.1 การหาค่าโมเมนต์ความเฉื่อย |

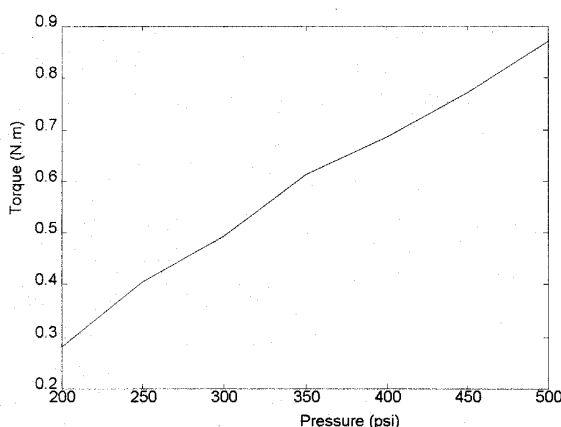
เนื่องจากเครื่องจำลองประกอบด้วยชิ้นส่วนต่าง ๆ ที่ซับซ้อน ทำให้การหาค่าโมเมนต์ความเฉื่อยโดยตรงจากทฤษฎีทำได้ยาก ในงานวิจัยนี้ จะใช้วิธีการทดลองตามหลักการของไบเฟอร์ลาร์เพนดูลัม<sup>5</sup> (Bifilar Pendulum) โดยหาค่าโมเมนต์ความเฉื่อยจากค่าความถี่共振 frequency ของระบบ ซึ่งได้จากการแขวนตัวแบบจำลองด้วยเชือกน้ำหนักเบา 4 เส้น ยึดติดกับเพดาน แล้วปล่อยให้ตัวเกือบจะถอดแก่งว่องอย่างอิสระรอบแกนหมุน ด้วยมุ่งเล็กๆ จับเวลาความถี่ของการแก่วง แล้วนำมาคำนวณหาค่า I จากสมการความสัมพันธ์ของไบเฟอร์ลาร์เพนดูลัม

$$I = \frac{mgr^2}{\omega_n^2 l} \quad (2)$$

และจากการทดลองจะสามารถหาค่าโมเมนต์ความเรื่อยรอบแกนหมุนของเครื่องจำลองได้เท่ากับ  $3.766 \text{ kg.m}^2$

## 2.2 การหาค่าทอร์ค T

ค่าทอร์คสามารถหาได้จากการวัดแรงปฏิกิริยาของหัวฉีดที่กระทำกับฐานน้ำดีในขณะที่ปล่อยก้าชีดผ่าน jet thruster อุปกรณ์วัดแรงที่ใช้ในงานวิจัยนี้เป็น electronic load cell ค่าทอร์คจะได้จากผลคูณของแรงกับรัศมีของเครื่องจำลอง โดยการฟความสัมพันธ์ระหว่างความดันของก้าช "ในโทรศัพท์ที่หัวฉีดกับค่าทอร์คที่กระทำกับเครื่องจำลองแสดงไว้ดังรูปที่ 3 จากนั้นนำค่าที่ได้จากการทดลองมาเปรียบเทียบกับค่าจากการคำนวณดังแสดงในตารางที่ 1"



รูปที่ 3 กราฟความสัมพันธ์ระหว่างความดันกับทอร์ค

ตารางที่ 1 เปรียบเทียบทอร์คจากการทดลองและคำนวณทางทฤษฎี

ความดันของก้าชที่ หัวฉีด (psi)	ทอร์คที่กระทำกับ แบบจำลอง (N.m)		ความแตกต่าง เป็นร้อยละ
	ทดลอง	คำนวณ	
200 ( 1.379 MPa )	0.281	0.298	6.103
250 ( 1.723 MPa )	0.406	0.373	8.176
300 ( 2.068 MPa )	0.493	0.447	9.406
350 ( 2.413 MPa )	0.613	0.522	14.888
400 ( 2.758 MPa )	0.684	0.596	12.886
450 ( 3.103 MPa )	0.771	0.671	13.011
500 ( 3.447 MPa )	0.869	0.745	14.315

ซึ่งจะพบว่าค่าที่ได้จากการทดลองและการคำนวณมีความใกล้เคียงกันมาก จะมีความแตกต่างกันบางส่วนอาจเกิดจากความคลาดเคลื่อนของขนาดเส้นผ่านศูนย์กลางของหัวฉีด มุ่งและตำแหน่งการติดตั้งหัวฉีด และมุมของแรงที่กระทำกับ load cell เป็นต้น

## 2.3 การหาค่าอัตราส่วน T/I

การหาค่าอัตราส่วน T/I โดยตรง สามารถกระทำได้โดยการจับเวลาการหมุนของเครื่องจำลอง ในขณะที่ปิดหัวฉีดข้างเดียวหนึ่งค้างไว้แล้วปล่อยให้เครื่องจำลองหมุนอย่างอิสระไปตามแรงดันของก้าช จากนั้นนำค่าเวลา มาคำนวณหาค่าความเร็วเชิงมุม ซึ่งจะเท่ากับค่าอัตราส่วน T/I ตามสมการ (1) นั้นเอง ถ้าสมมุติว่าค่าแรงเสียดทานคงน้อยมาก

ค่าอัตราส่วน T/I จากวิธีแรกที่เป็นการหาค่า T และ I ที่แยกกันอิสระ และจากวิธีที่สองที่เป็นการหาค่าอัตราส่วน T/I โดยตรง ได้แสดงเปรียบเทียบไว้ในตารางที่ 2 จะเห็นว่าค่าที่ได้ค่อนข้างใกล้เคียงกันมาก เป็นการยืนยันความถูกต้องของค่าพารามิเตอร์ที่ต้องการหา อาจจะแตกต่างกันบ้างเนื่องจากความไม่แน่นอนในการจับเวลาการหมุน และค่าความผิดของแบร์งของชุดรองรับซึ่งทำให้ค่าที่ได้จากวิธีที่ 2 มีค่าน้อยกว่าวิธีแรก

ตารางที่ 2 เปรียบเทียบค่าอัตราส่วน T/I จากสองวิธี

ความดัน	ค่าอัตราส่วน T/I	
	มาจากวิธีที่ 1	มาจากวิธีที่ 2
200 psi	0.0746	0.0552
300 psi	0.1309	0.1010
400 psi	0.1816	0.1517
500 psi	0.2308	0.1878

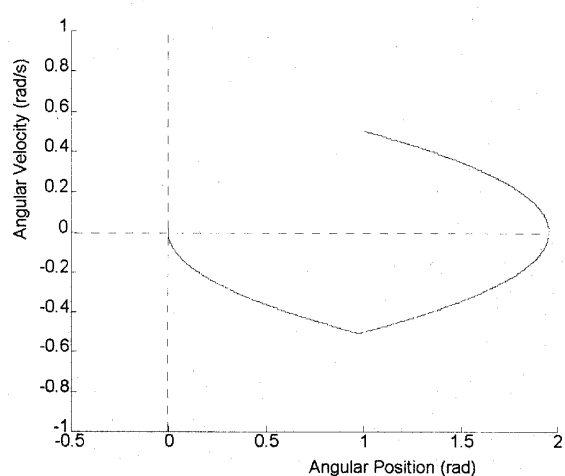
## 3. ระบบควบคุม

ระบบควบคุมที่ใช้กับเครื่องจำลองนี้เป็นแบบ bang-bang<sup>4,6</sup> ซึ่งเป็นระบบควบคุมที่สามารถใช้เวลาในการหันตัวหรือเปลี่ยนแผลติดจุด (altitude) สั้นที่สุด โดยมีกฎการควบคุมดังนี้

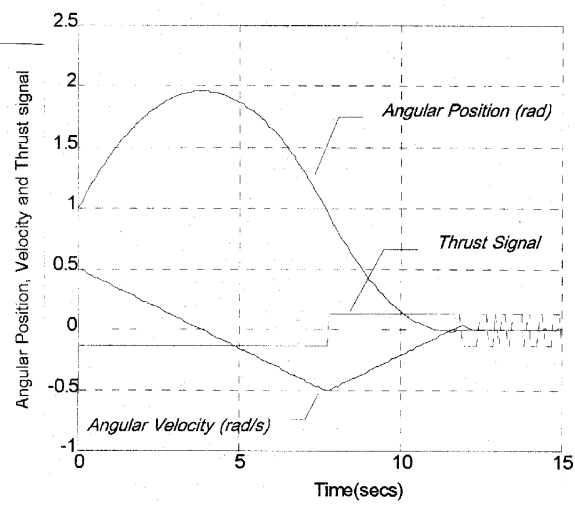
$$u = -T \operatorname{sign}\left(\frac{2T}{I}\theta + \frac{d\theta}{dt} \left| \frac{d\theta}{dt} \right| \right) \quad (3)$$

โดยที่  $u$  คือสัญญาณควบคุมที่ป้อนให้กับระบบตามสมการ (1) และ  $\operatorname{sign}(x)$  เป็นฟังก์ชันที่ให้ค่า 1 เมื่อ  $x$  เป็นบวก -1 เมื่อ  $x$  เป็นลบ และ 0 เมื่อ  $x$  เป็นศูนย์

จากการนำค่า parameters ที่หาได้ในตอนที่ 2 มาจำลองระบบการทำางานและทดสอบกฎการควบคุม (3) ในคอมพิวเตอร์ ได้มีผลลัพธ์ที่สอดคล้องทางทฤษฎี รูปที่ 4 แสดงผลตอบสนองของระบบที่ได้จากการ computer simulation



ก. Phase plan ของระบบ



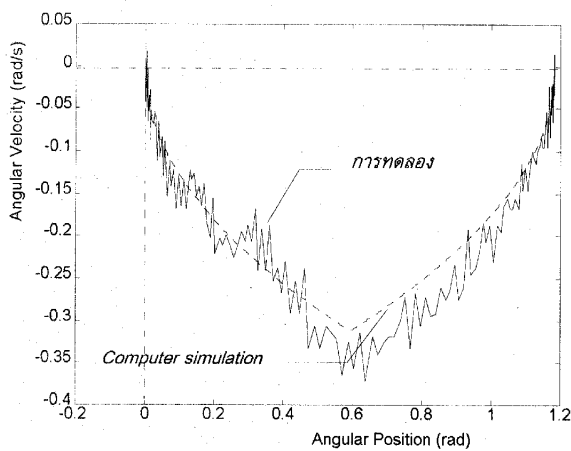
ข. กราฟการเปลี่ยนแปลงของระบบกับเวลา

รูปที่ 4 ผลลัพธ์การทดสอบโดย computer simulation

#### 4. การควบคุมเครื่องจำลอง

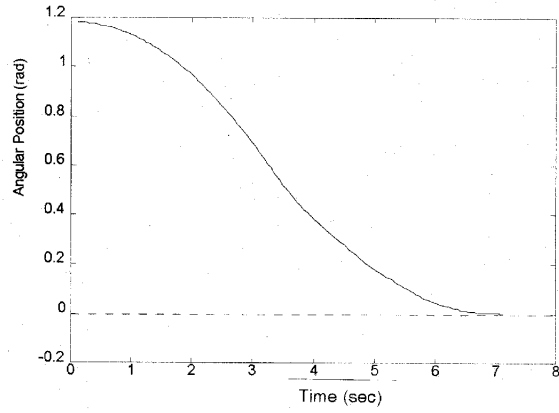
ในตอนนี้จะเป็นการ implement ระบบควบคุมกับเครื่องจำลอง ในการควบคุมนั้นสัญญาณค่าตำแหน่งมุ่งจะได้มาจากการตัววัดมุ่ง (continuous potentiometer) และค่าความเร็วเชิงมุ่งจะคำนวณจากค่าการเปลี่ยนแปลงของมุ่ง จานวนนี้จะคำนวณโดยการควบคุม และสัญญาณควบคุมเพื่อทำเปิดปิดหัวน้ำดี การคำนวณทั้งหมดจะทำในคอมพิวเตอร์ที่แยกออกมานอกๆ และมีชุด A/D converter เป็นอุปกรณ์รับสัญญาณ analog โดยมีสายสัญญาณแบบน้ำหนักเบาเชื่อมโยงกับเครื่องจำลองอีกด้วย ค่าเวลาของการ sampling ที่ใช้ตลอดการทดลองเท่ากับ 30 msec

รูปที่ 5 แสดงผลลัพธ์ของการควบคุมโดยแสดงในรูปของ phase plane โดยเส้นที่เป็นรูปคือสัญญาณจริงที่ได้จากการทดลอง ส่วนเส้นประเป็นผลลัพธ์ที่ได้จาก computer simulation ซึ่งเมื่อเปรียบเทียบแล้วจะเห็นว่าทั้งสองมีค่าใกล้เคียงกัน

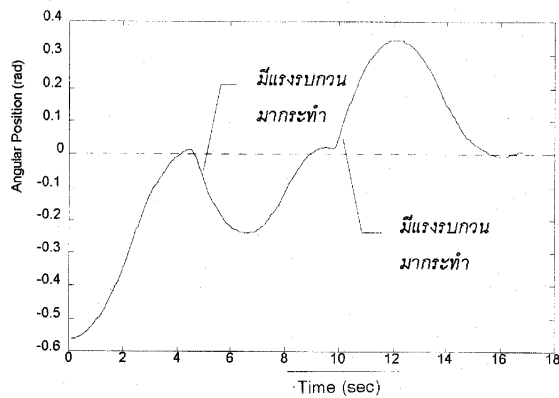


รูปที่ 5 ผลลัพธ์ของการควบคุม simulator

ผลตอบสนองของเครื่องจำลองในรูปความสัมพันธ์ของตำแหน่งเชิงมุ่งกับเวลาแสดงในรูปที่ 6 และรูปที่ 7 แสดงผลตอบสนองของเครื่องจำลองในรูปของ impulse márurbawan จะเห็นว่าไม่ว่าแรงงานภายนอกจะเข้ามารบกวนในทิศทางไหนหรือลักษณะใด impulse ระบบควบคุมก็สามารถที่จะควบคุมให้เครื่องจำลองหันกลับไปยังตำแหน่งศูนย์ตามเดิมได้ตลอดเวลา ซึ่งโดยทั่วไปถือว่าผลลัพธ์ที่ได้อยู่ในระดับที่น่าพอใจมาก



รูปที่ 6 ผลตอบสนองในรูปความสัมพันธ์ของตำแหน่งเชิงมุ่งกับเวลา



รูปที่ 7 ผลตอบสนองเมื่อมีแรงรบกวนจากภายนอก

#### 5. งานวิจัยในอนาคต

เครื่องจำลองการควบคุมยอดติดจูดสำหรับดาวเทียมขนาดเล็กแบบแกนเดียนน์ ได้ถูกออกแบบให้สามารถพัฒนาเป็นเครื่องจำลองแบบ 3 แกน ได้โดยทันที ซึ่งจะต้องใช้ Sphere Air Bearing เป็นอุปกรณ์รองรับแทนแบบร่องที่ใช้อยู่ เพื่อให้เครื่องจำลองสามารถเคลื่อนไหวในสามแกนได้อย่างอิสระและชุ่ยในสภาพไร้หน้างานใกล้เคียงกับดาวเทียมจริงมากที่สุด และจะต้องใช้ on-board computer เป็นศูนย์กลางการประมวลผลและควบคุม เพื่อทำให้ดาวเทียมเคลื่อนไหวโดยอิสระโดยไม่มีสายสัญญาณเชื่อมโยงจากภายนอก เครื่องจำลองแบบ 3 แกนจะสามารถใช้ศึกษาและวิจัยระบบควบคุมดาวเทียมเล็กแบบต่างๆ ได้อย่างมากมายต่อไป

## 6. เอกสารอ้างอิง

1. Haeusserman, W. and H. Kennel , "A Satellite Motion Simulator" , *Astronautics*, Vol. 5, No. 12, Dec. 1960
2. Fullmer, R., G. Peterson, W. Holmans, J. Smith, J. Nottingham, S. Anderson, T. Olsen and F. Redd, "The Development of a Small Satellite Attitude Control Simulator", *The 7<sup>th</sup> Annual AIAA/USU Conference on Small Satellite*, Logan, Utah USA, Aug. 1993
3. Kincaid, D and W. Cheney , Numerical Analysis: Mathematics of Scientific Computing, Brooks/Cole Pub. 1990
4. Wertz, J. , Spacecraft Attitude Determination and Control, Kluwer Academic Pub., 1978
5. Steidel, R. Jr., An Introduction to Mechanical Vibrations, John Wiley&Sons, 1989
6. Bryson, A.E. and Yu-Chi Ho, Applied Optimal Control: Optimization, Estimation, and Control, Hemisphere Pub., 1975